

MATERIAL SUPLEMENTAR

Composição química, atividade antiradicalar e antimicrobiana do pólen apícola de Fabaceae

Francisco R. L. Caldas^a, Francisco Augusto Filho^b, Heberty T. Facundo^c, Rodolfo F. Alves^d, Francisco de A. R. dos Santos^d, Girliane R. da Silva^e, Celso A. Camara^e e Tania M. S. Silva^{e,*}

^aInstituto Federal de Educação, Ciência e Tecnologia, 63040-540 Juazeiro do Norte – CE, Brasil

^bFaculdade de Medicina de Juazeiro do Norte, 63040-360 Juazeiro do Norte – CE, Brasil

^cUniversidade Federal do Cariri, 63180-000 Barbalha – CE, Brasil

^dDepartamento de Ciências Biológicas, Universidade Estadual de Feira de Santana, 44036-900 Feira de Santana – BA, Brasil

^eDepartamento de Química, Universidade Federal Rural de Pernambuco, 52171-900 Recife – PE, Brasil

*e-mail: sarmentosilva@gmail.com

R09

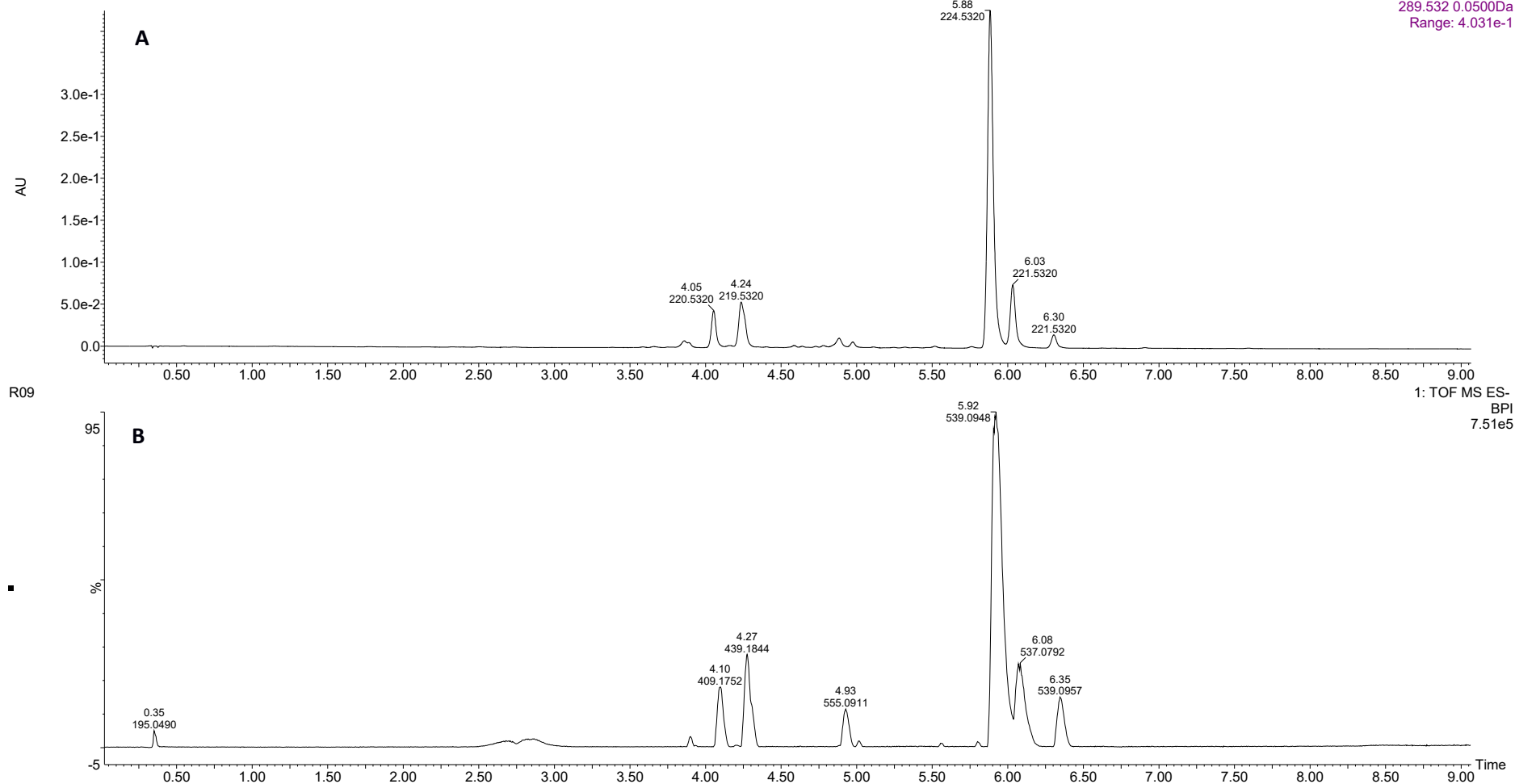
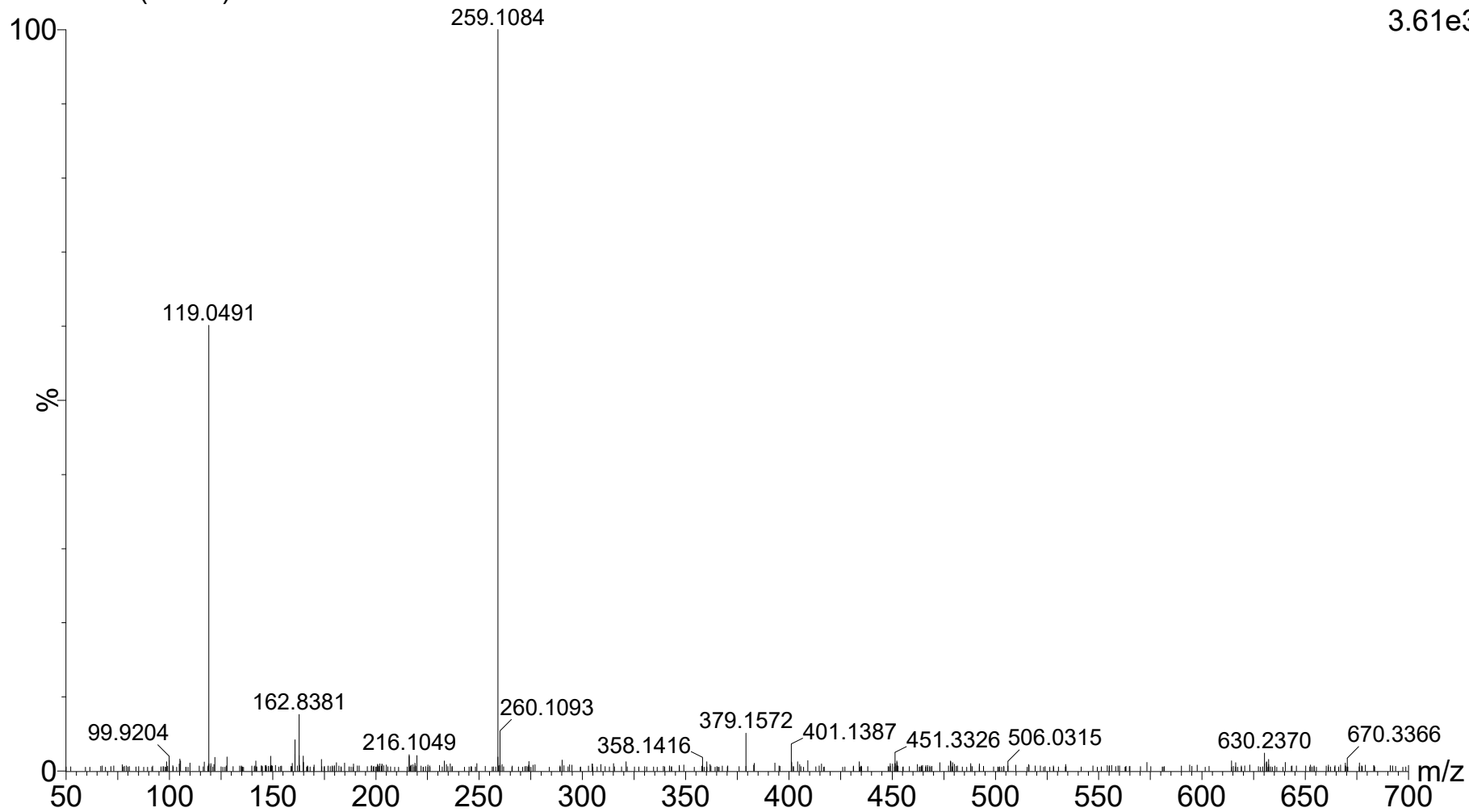
4: Diode Array
289.532 0.0500Da
Range: 4.031e-1

Figura 1S. UPLC-DAD (340 nm) da fração AcOEt (Amostra I) do pólen apícola de Fabaceae (A) e cromatograma do ion pico base (B) obtido por MS^E (UPLC-qTOF/MS^E) em modo negativo

R10 1000 (3.887)

2: TOF MS ES-
3.61e3



R10 1002 (3.895)

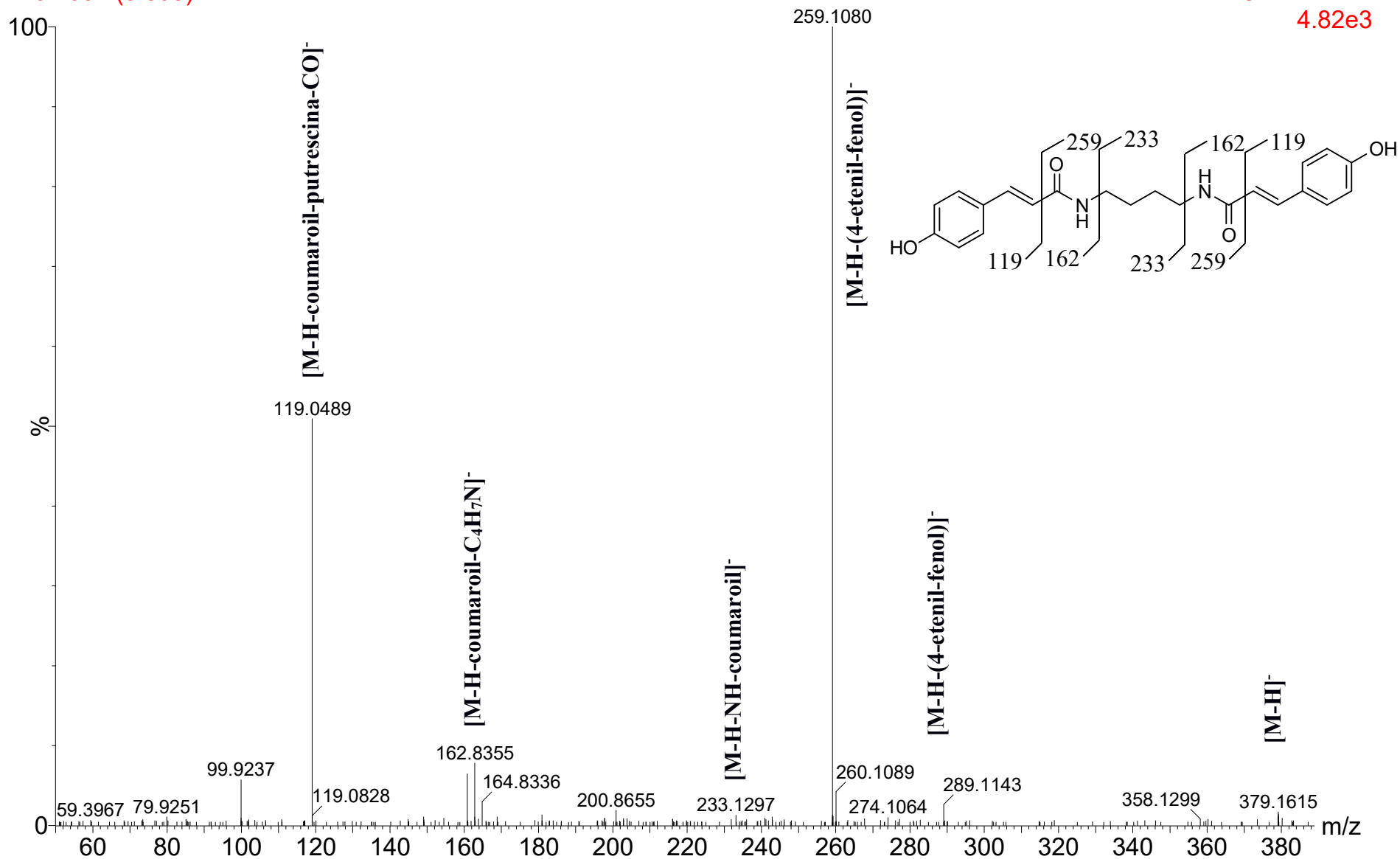
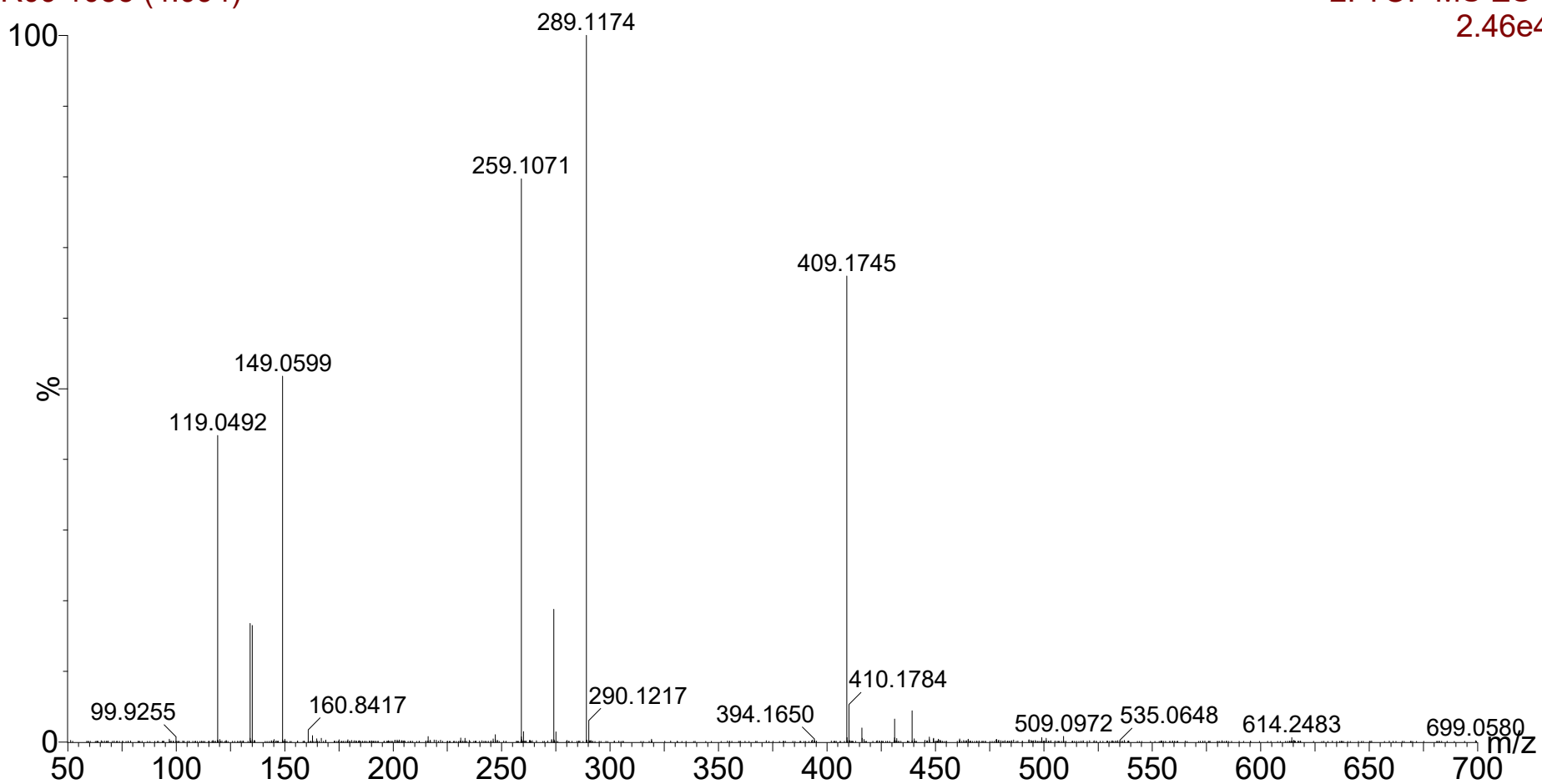
2: TOF MS ES-
4.82e3

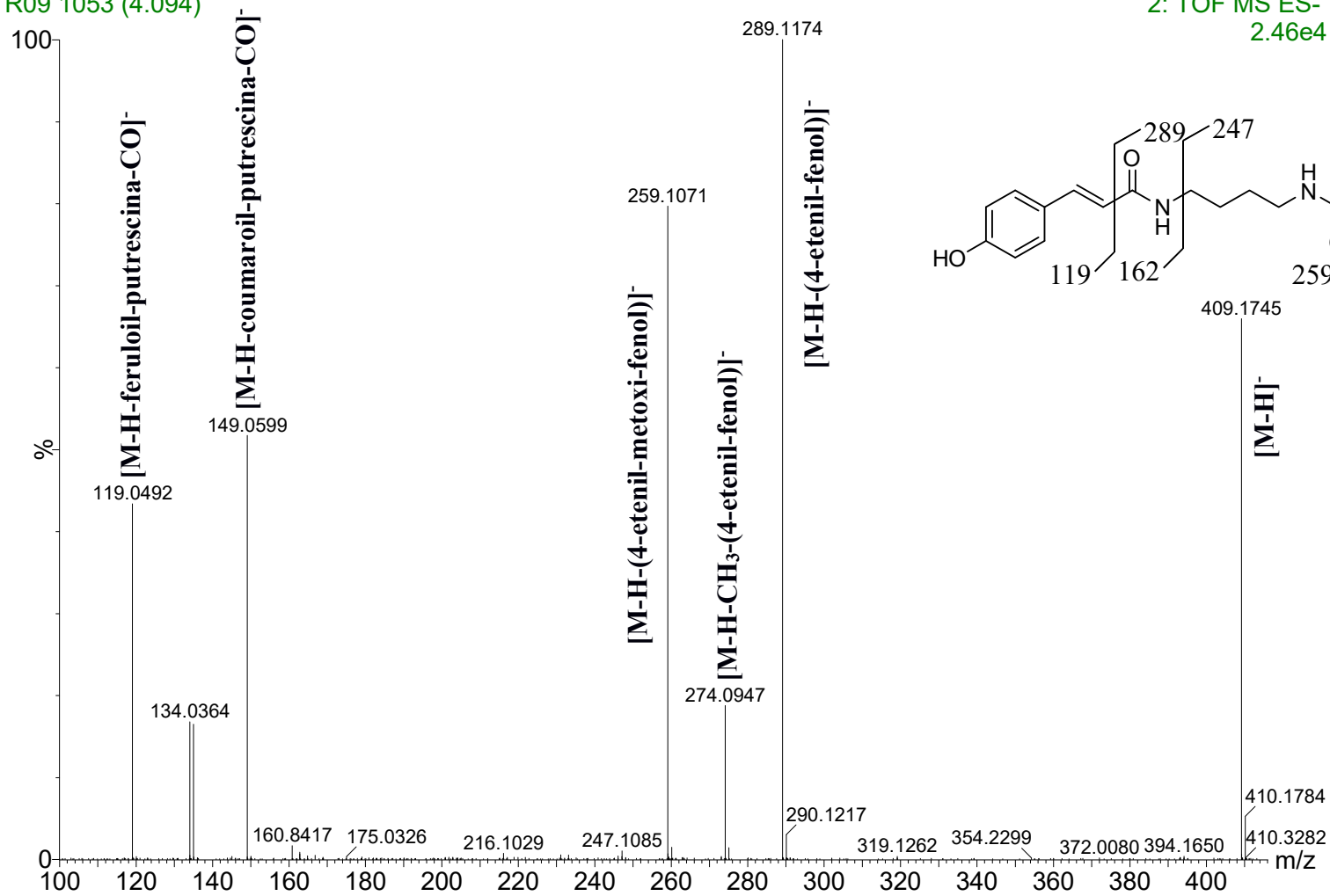
Figura 2S. A. Espectro de íons produtos de *N*¹, *N*⁵-dicoumaroil putrescina. B. Expansão do espectro de íons produtos de *N*¹, *N*⁵-dicoumaroil putrescina

R09 1053 (4.094)

2: TOF MS ES-
2.46e4



R09 1053 (4.094)



2: TOF MS ES-
2.46e4

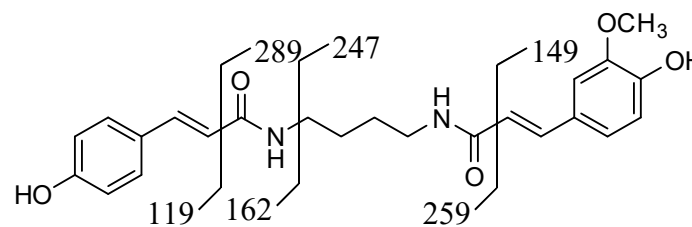
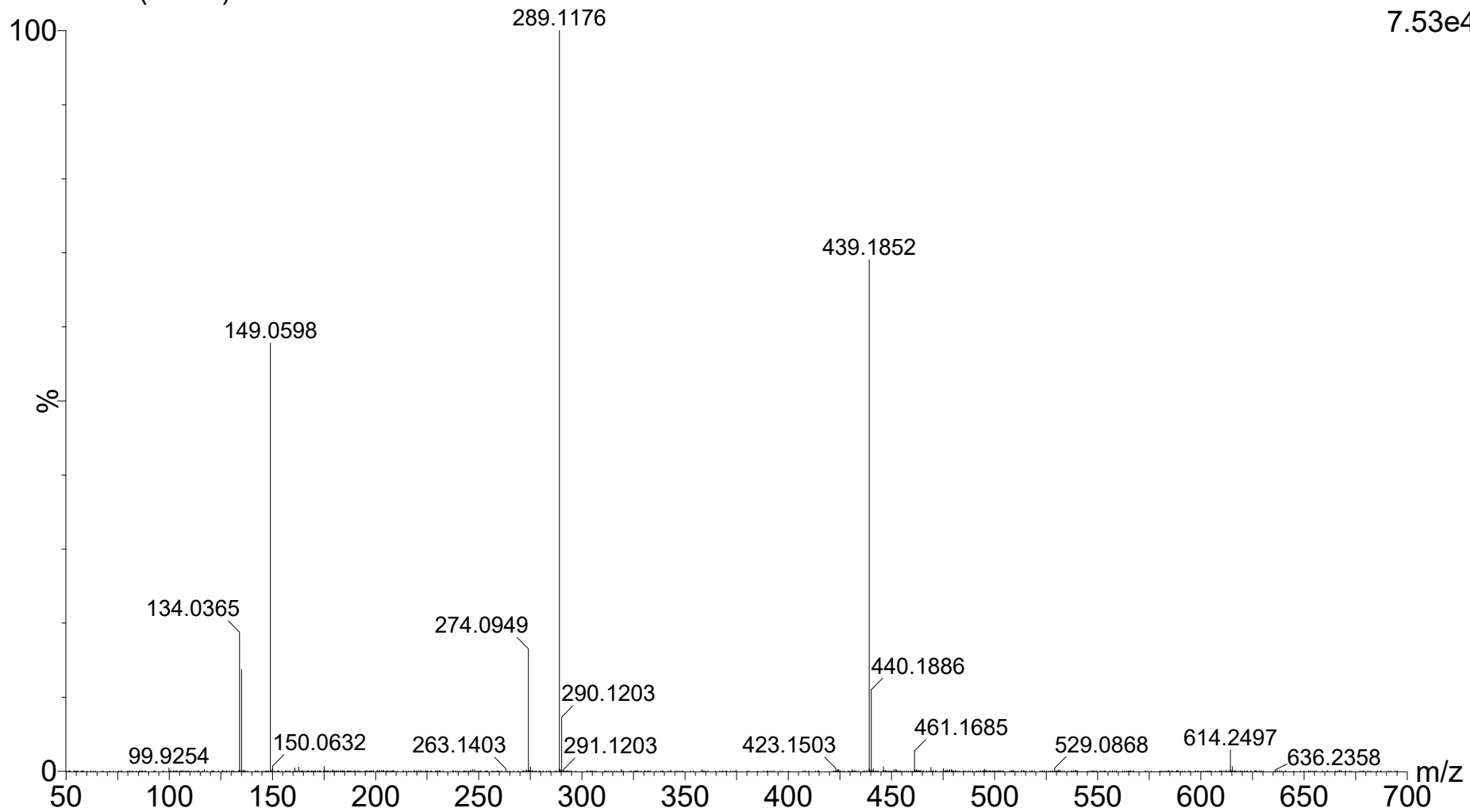


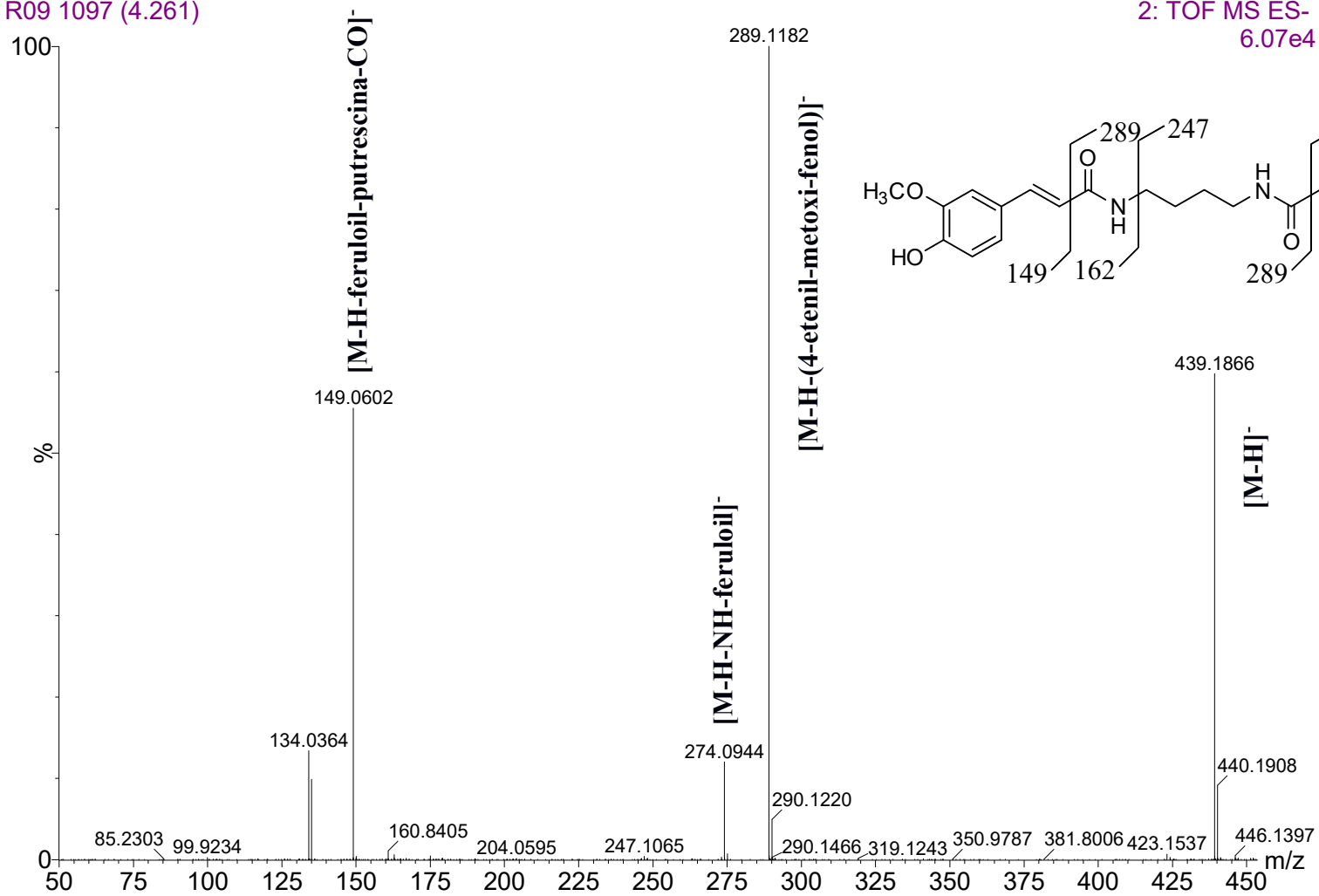
Figura 3S. A. Espectro de íons produtos de coumaroil-feruloilputrescina. B. Expansão do de íons produtos de coumaroil-feruloilputrescina

R09 1099 (4.269)

2: TOF MS ES-
7.53e4



R09 1097 (4.261)



2: TOF MS ES-
6.07e4

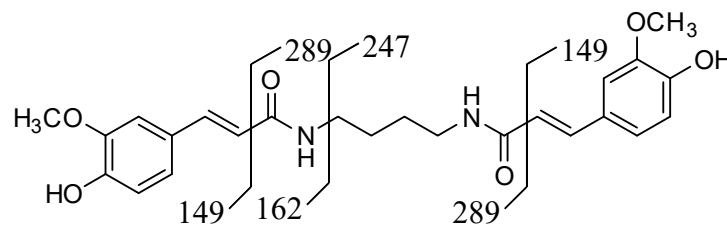
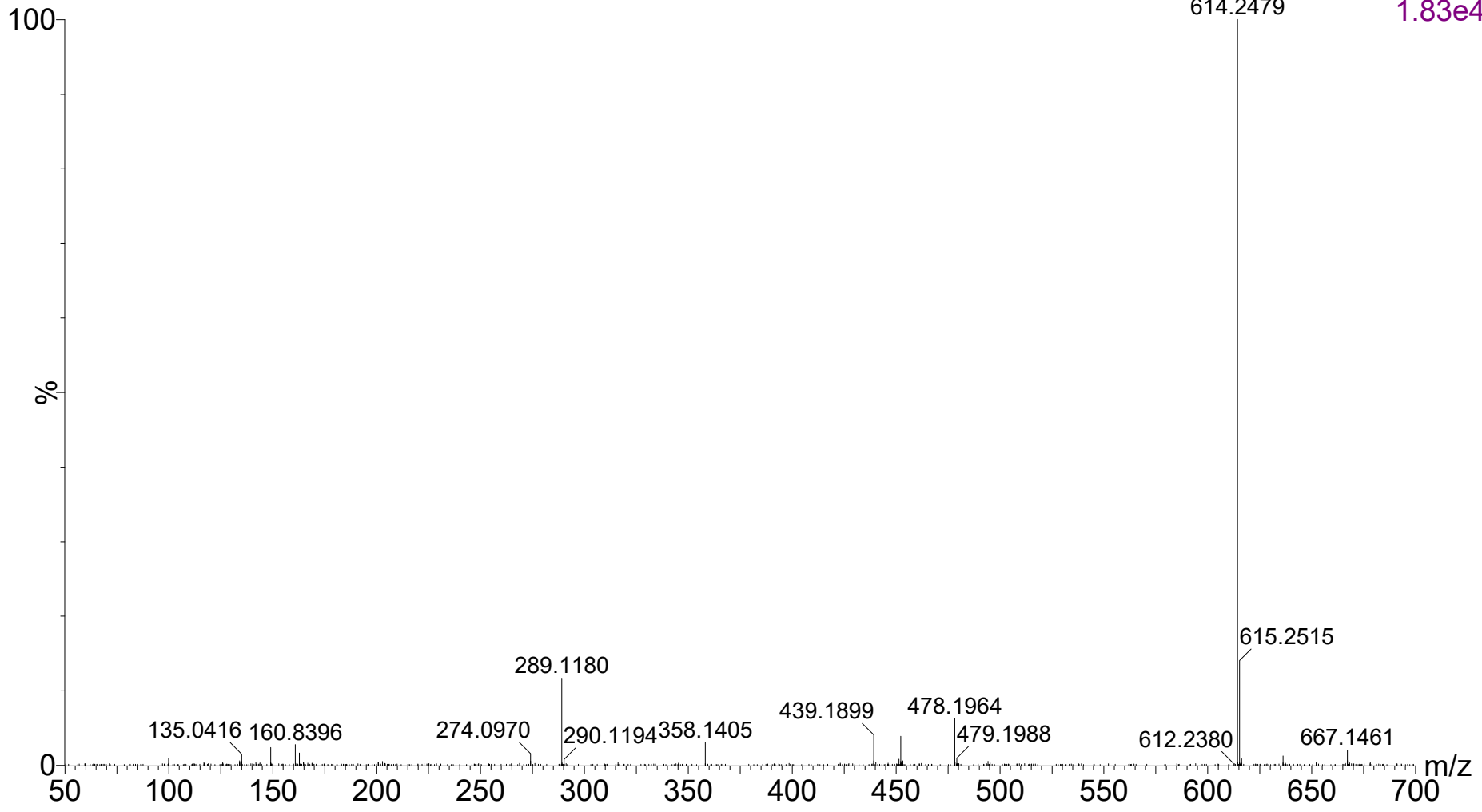


Figura 4S. A. Espectro de íons produtos de di-feruloilputrescina. B. Expansão do espectro de íons produtos de di-feruloilputrescina

R09 1115 (4.330)

2: TOF MS ES-
1.83e4



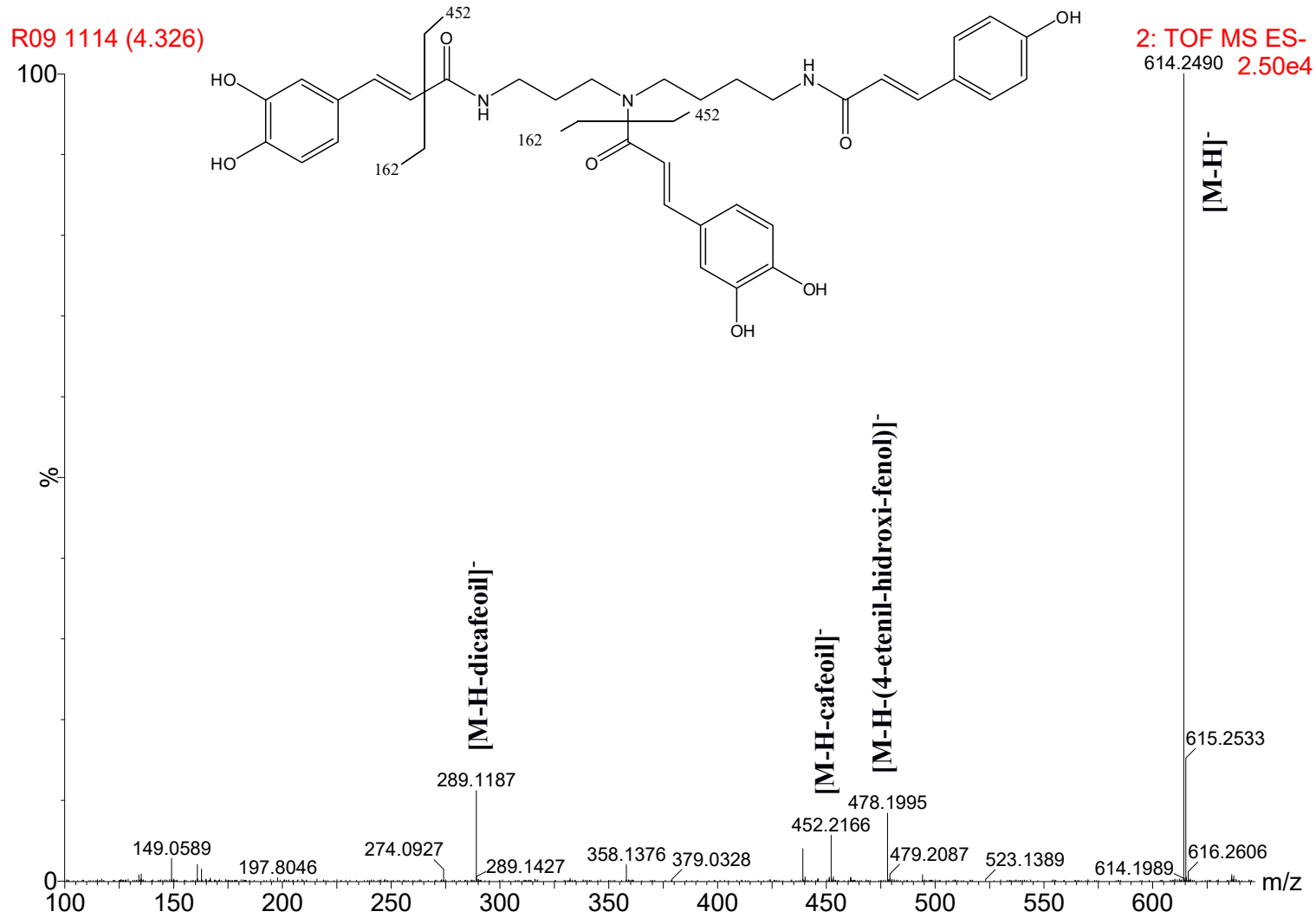
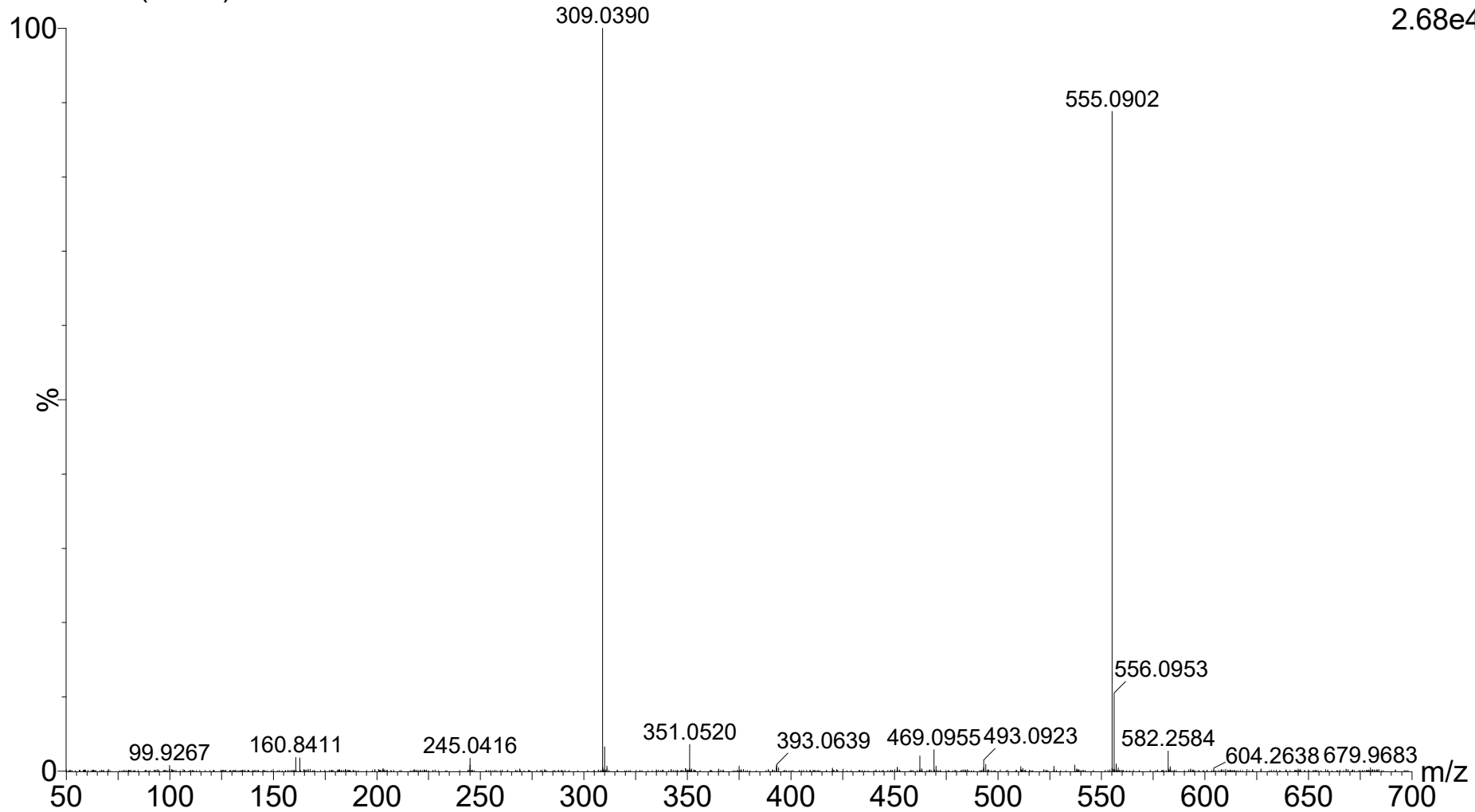


Figura 5S. A. Espectro de íons produtos de coumaroil-dicafeoil-espermidina. B. Expansão do espectro de íons produtos de coumaroil-dicafeoil-espermidina

R09 1268 (4.922)

2: TOF MS ES-
2.68e4



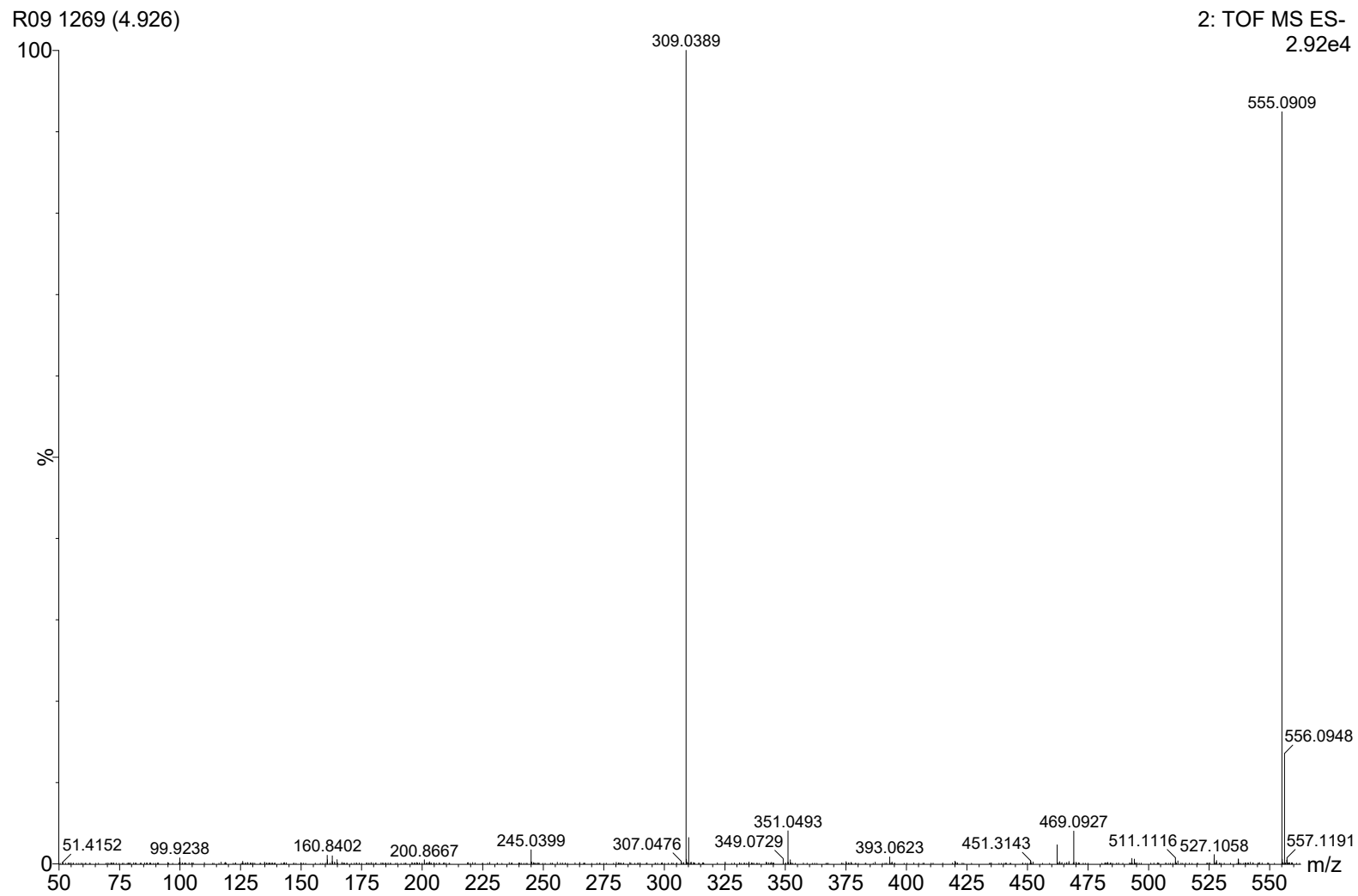
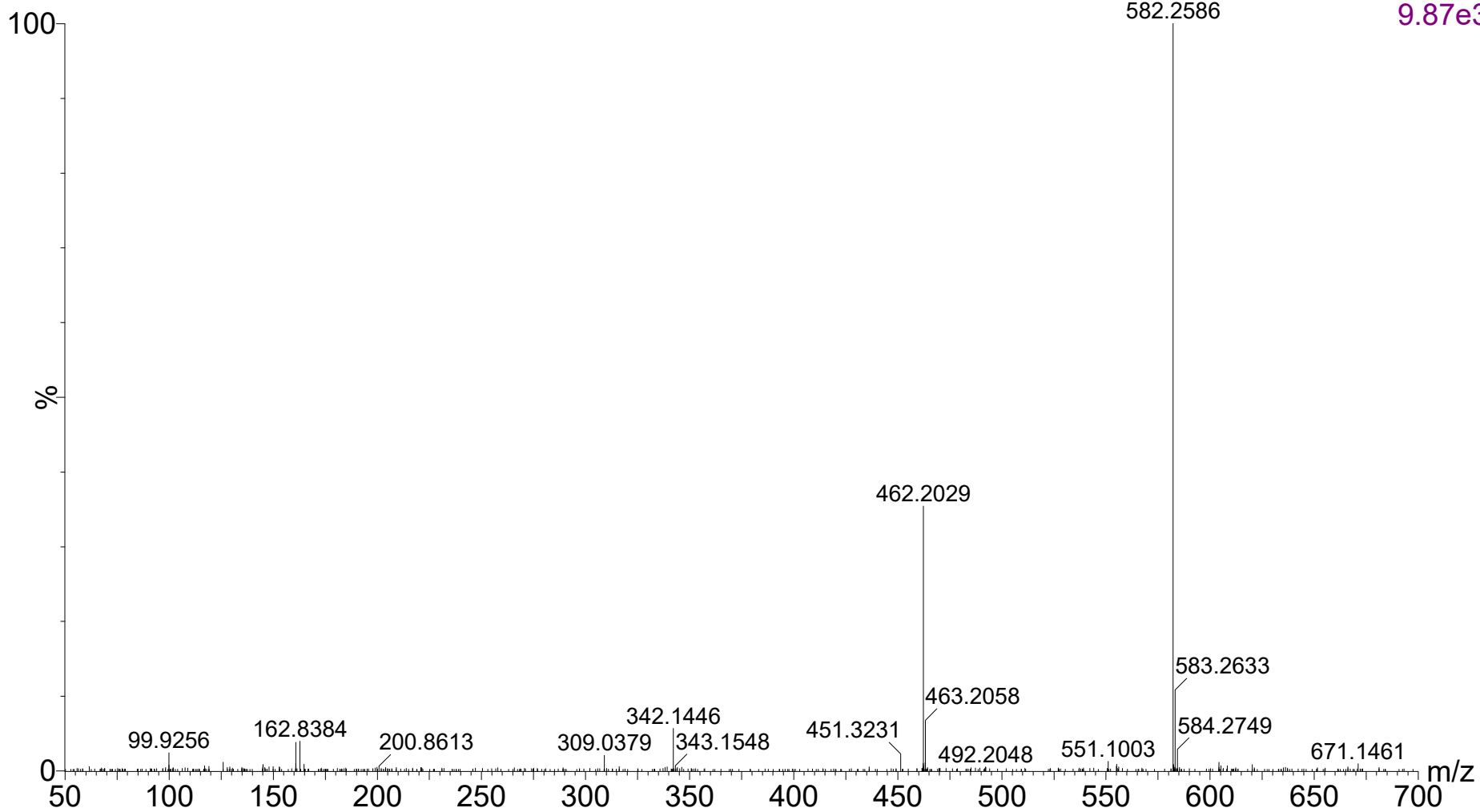


Figura 6S. A. Espectro de íons produtos 2,3-dihidro-hidroxi-amentoflavona. B. Expansão do de íons produtos de 2,3-dihidro-hidroxi-amentoflavona

R09 1290 (5.006)

2: TOF MS ES-
9.87e3



R09 1293 (5.018)

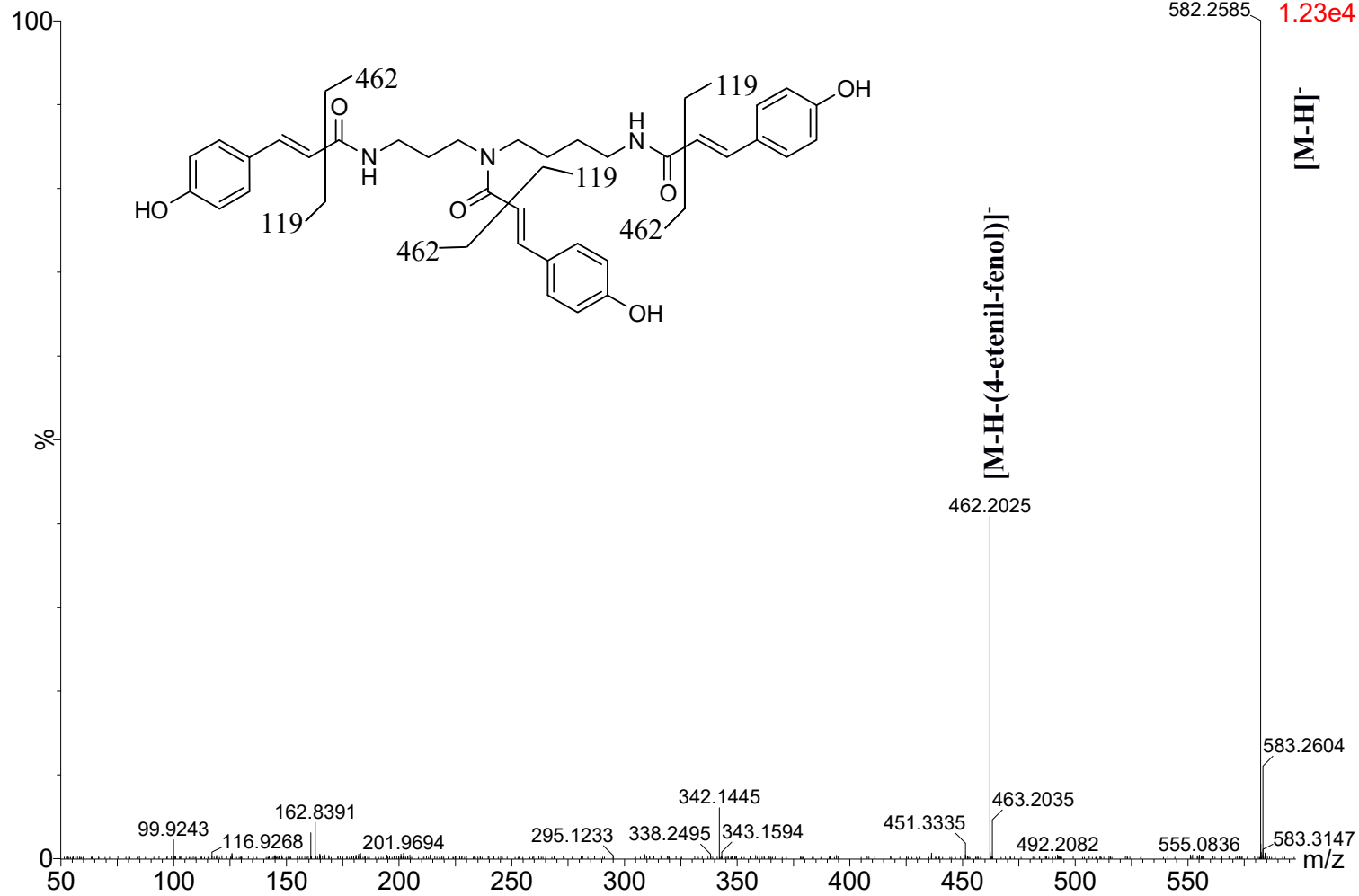
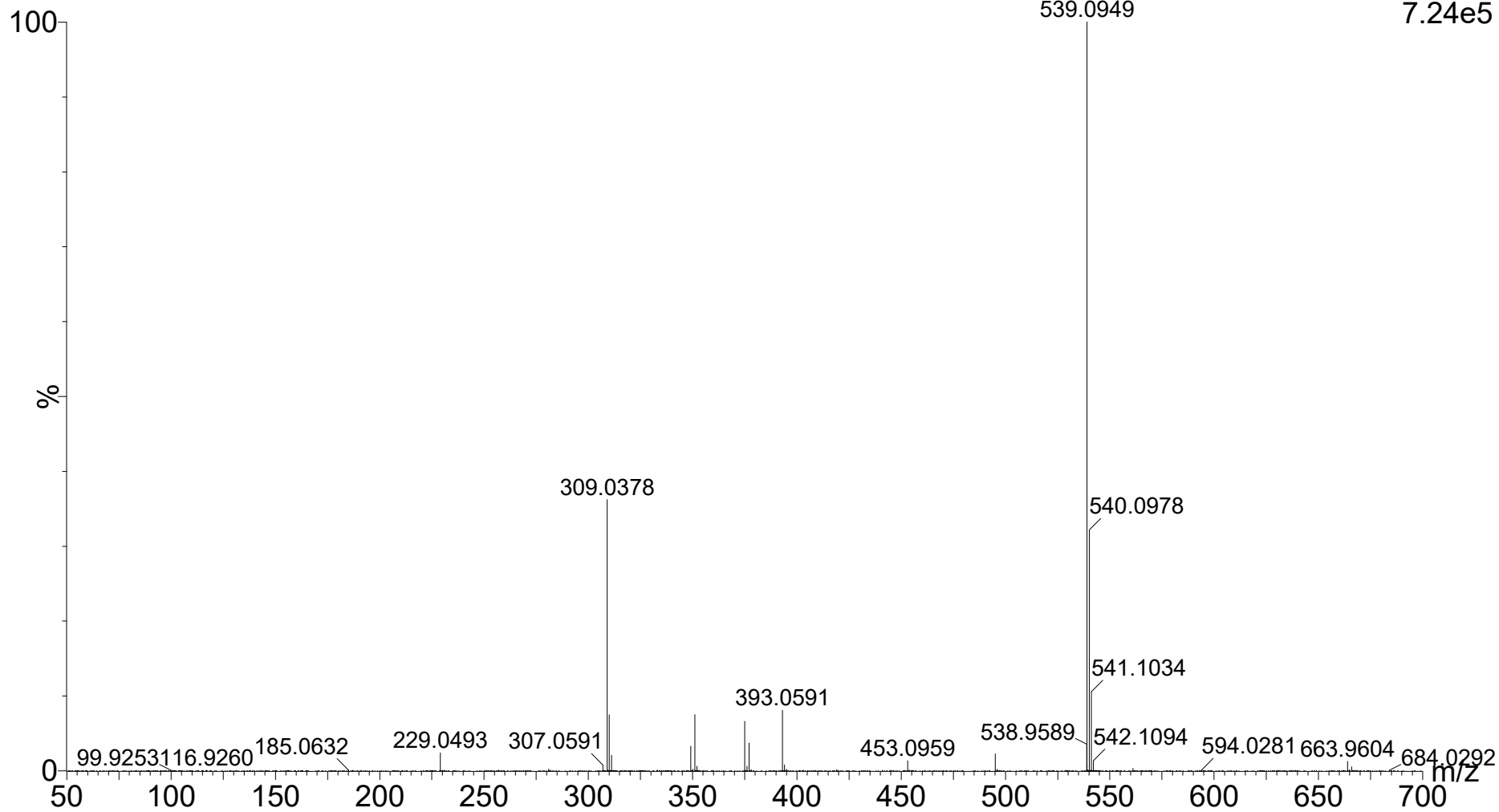


Figura 7S. A. Espectro de íons produtos de tricoumaroil espermidina. B. Expansão do espectro de íons produtos de tricoumaroil espermidina

R09 1524 (5.912)

2: TOF MS ES-
7.24e5



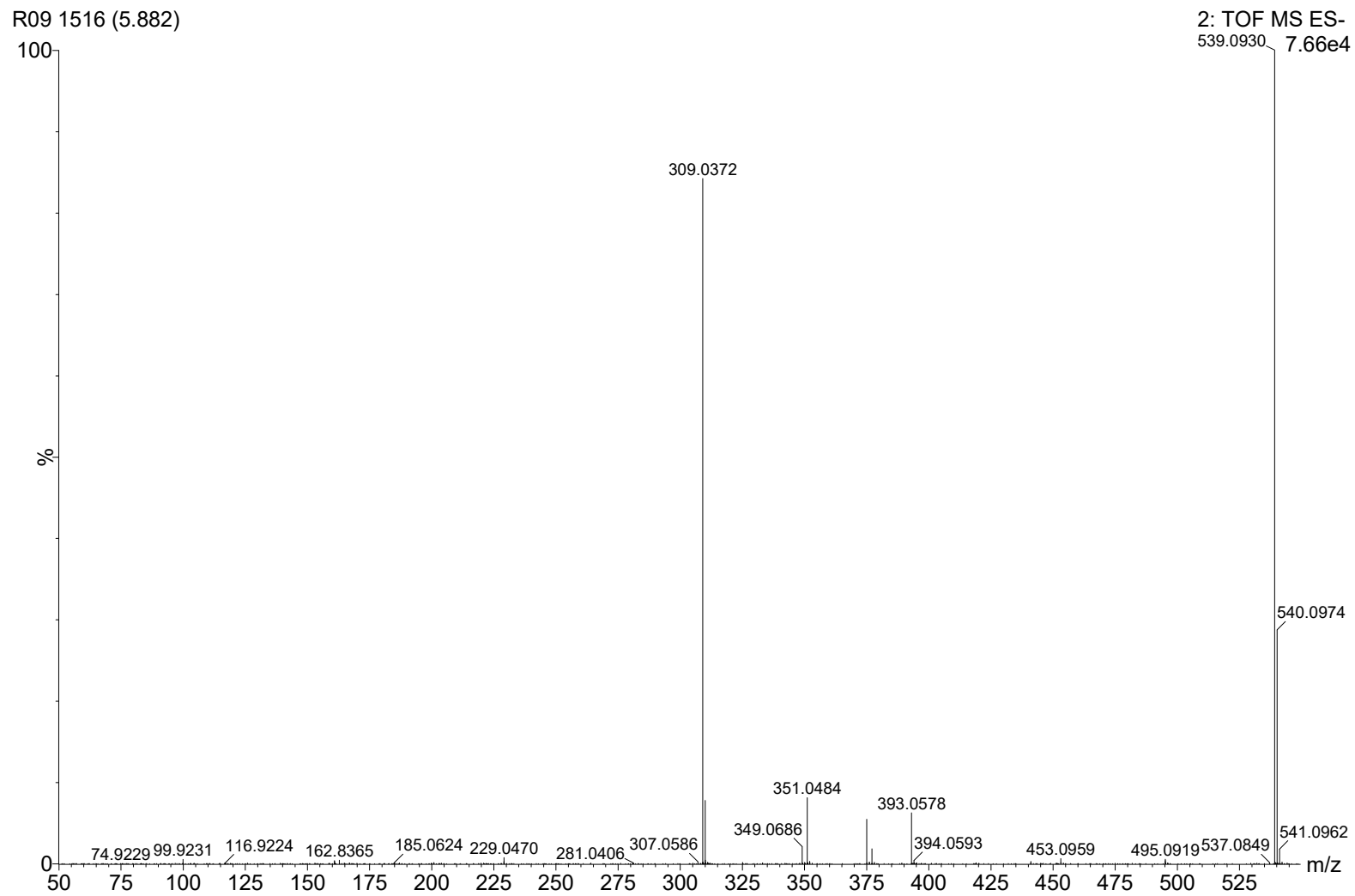
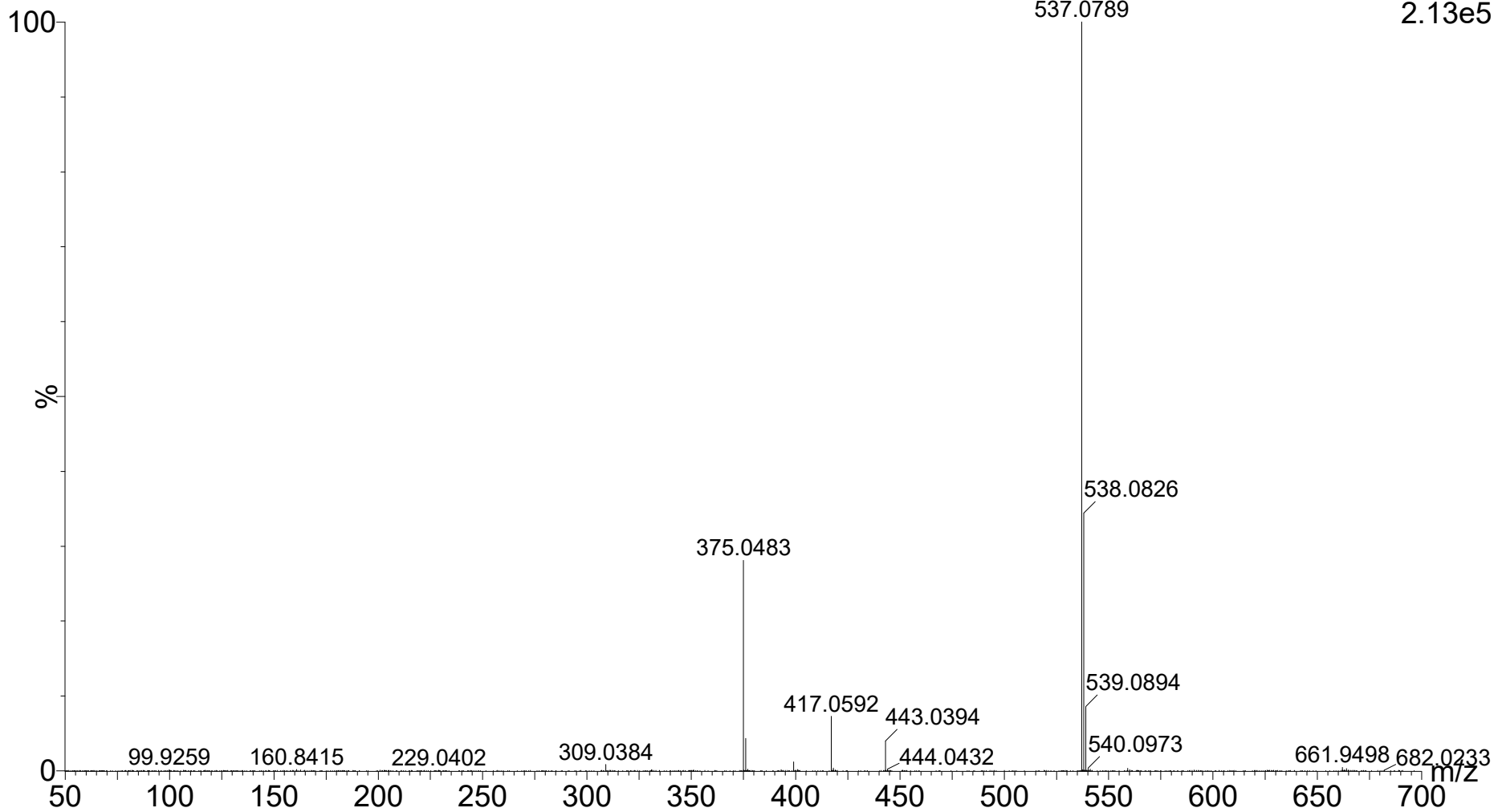


Figura 8S. A. Espectro de íons produtos de 2,3-dihidroaemontoflavona. B. Expansão do espectro de íons produtos de 2,3-dihidroaemontoflavona

R09 1566 (6.072)

2: TOF MS ES-
2.13e5



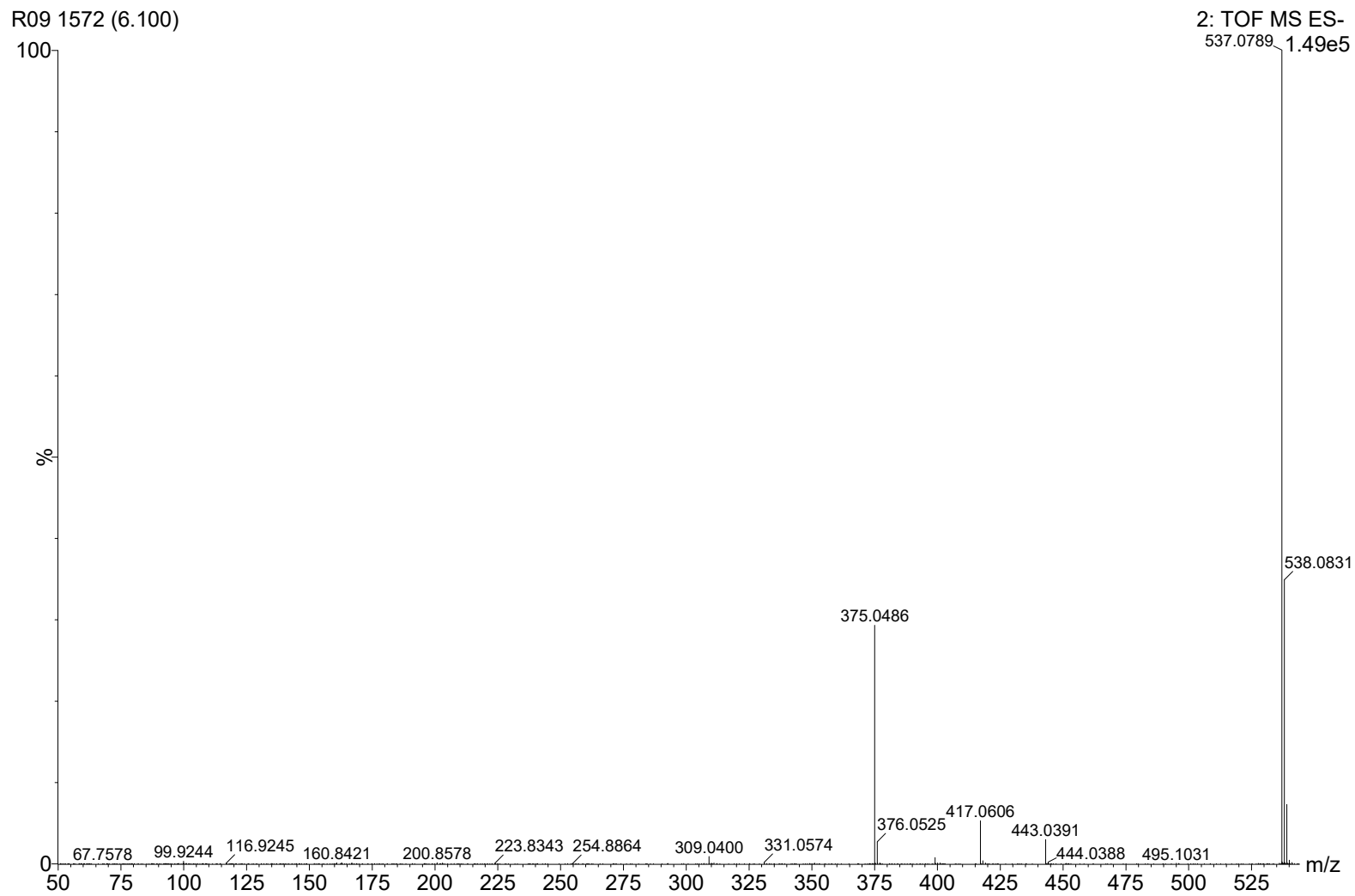
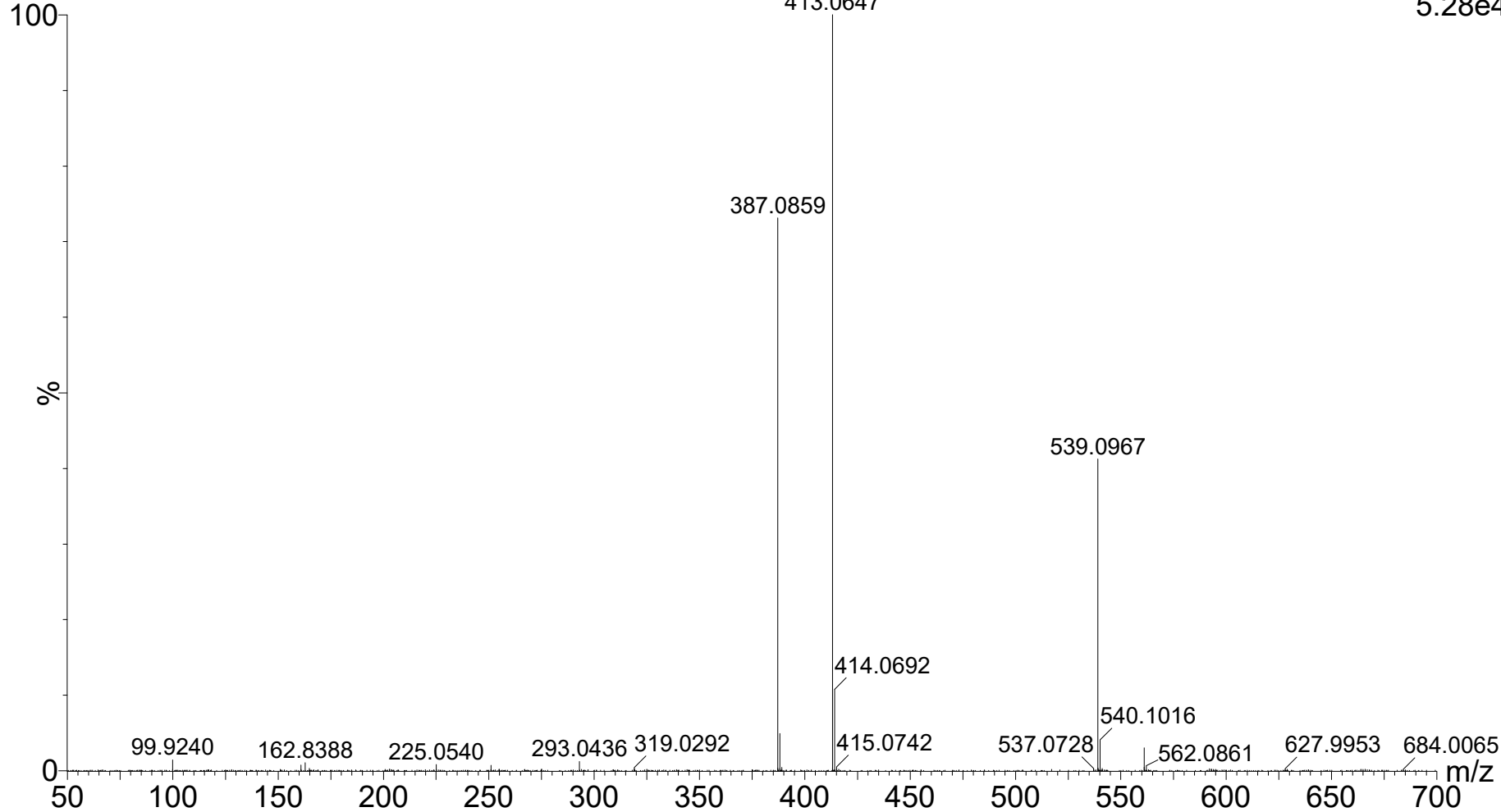


Figura 9S. A. Espectro de íons produtos de amentoflavona. B. Espectro de íons produtos de amentoflavona

R09 1635 (6.340)

2: TOF MS ES-
5.28e4



R09 1634 (6.336)

2: TOF MS ES-
4.88e4

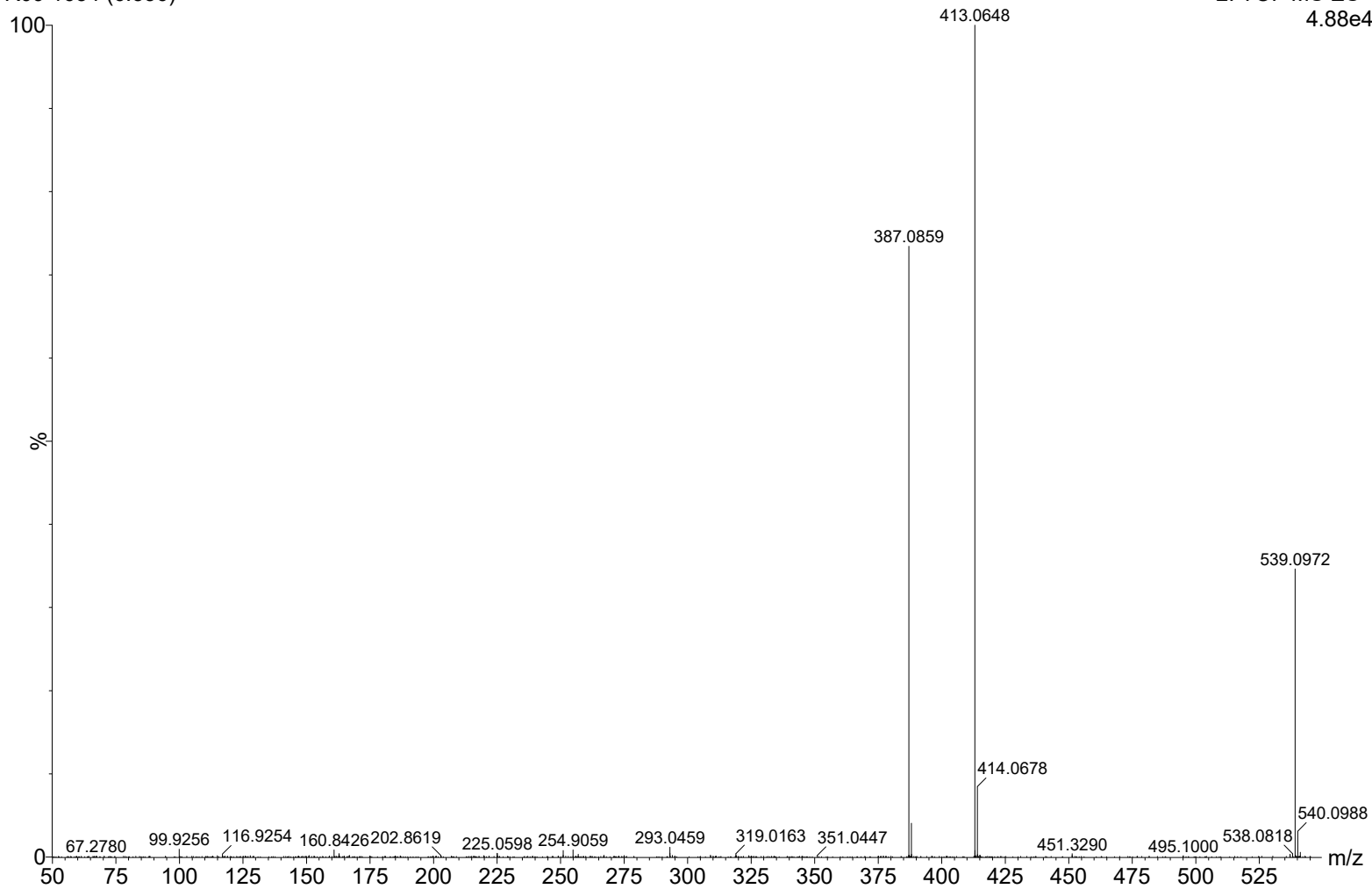


Figura 10S. A. Espectro de íons produtos de 2,3-dihidro-3',3'''-biapigenina. B. Expansão do espectro de íons produtos de 2,3-dihidro-3',3'''-biapigenina



This is an open-access article distributed under the terms of the Creative Commons Attribution License.